



北京交通大学

信号与系统



主讲人：陈后金

电子信息工程学院



连续周期信号的频域分析

- ◆ 连续周期信号的频域表示
- ◆ 连续周期信号的频谱
- ◆ 连续傅里叶级数的性质



连续傅里叶级数的性质

$$\tilde{x}(t) = \sum_{n=-\infty}^{\infty} C_n e^{jn\omega_0 t}$$

$$C_n = \frac{1}{T_0} \int_0^{T_0} \tilde{x}(t) e^{-jn\omega_0 t} dt$$

$$C_n = \underline{|C_n|} e^{j\varphi_n}$$

幅度频谱

相位频谱



连续傅里叶级数的性质

◆ 线性特性

若 $\tilde{x}_1(t) \rightarrow C_{1n}$, $\tilde{x}_2(t) \rightarrow C_{2n}$

则 $a_1 \cdot \tilde{x}_1(t) + a_2 \cdot \tilde{x}_2(t) \rightarrow a_1 \cdot C_{1n} + a_2 \cdot C_{2n}$

◆ 对称特性

若 $\tilde{x}(t)$ 为实信号

则 $|C_n| = |C_{-n}|$ $\varphi_n = -\varphi_{-n}$

◆ 时移特性

若 $\tilde{x}(t) \rightarrow C_n$

则 $\tilde{x}(t - t_0) \rightarrow e^{-jn\omega_0 t_0} C_n$



连续傅里叶级数的性质

◆ 频移特性

若 $\tilde{x}(t) \rightarrow C_n$

则有 $\tilde{x}(t)e^{jM\omega_0 t} \longleftrightarrow C_{n-M}$

◆ 卷积特性

若 $\tilde{x}_1(t)$ 和 $\tilde{x}_2(t)$ 均是周期为 T_0 的周期信号，且

$$\tilde{x}_1(t) \rightarrow C_{1n}, \quad \tilde{x}_2(t) \rightarrow C_{2n}$$

则有 $\tilde{x}_1(t) * \tilde{x}_2(t) \rightarrow T_0 C_{1n} \cdot C_{2n}$

◆ 微分特性

若 $\tilde{x}(t) \rightarrow C_n$

则有 $\tilde{x}'(t) \rightarrow jn\omega_0 C_n$



连续傅里叶级数的性质

◆ 帕什瓦尔(Parseval)功率守恒定理

$$P = \frac{1}{T_0} \int_{-T_0/2}^{T_0/2} |\tilde{x}(t)|^2 dt = \sum_{n=-\infty}^{\infty} |C_n|^2$$

周期信号的**功率**等于信号所包含的
直流、基波以及各次谐波的**功率之和**

周期信号的**功率频谱**:

$|C_n|^2$ 随 $n\omega_0$ 分布情况称为周期信号的**功率频谱**，简称**功率谱**。



连续傅里叶级数的性质

[例] $\tilde{x}(t) = 4 + 6\cos(\omega_0 t) + 4\cos(2\omega_0 t)$, 求其功率。

解: 1) 根据帕什瓦尔(Parseval)功率守恒定理 $P = \frac{1}{T_0} \int_{-T_0/2}^{T_0/2} |\tilde{x}(t)|^2 dt = \sum_{n=-\infty}^{\infty} |C_n|^2$

$$\tilde{x}(t) = 2e^{-j2\omega_0 t} + 3e^{-j\omega_0 t} + 4 + 3e^{j\omega_0 t} + 2e^{j2\omega_0 t}$$

$$C_0 = 4 \quad C_{\pm 1} = 3 \quad C_{\pm 2} = 2$$

$$P = 2^2 + 3^2 + 4^2 + 3^2 + 2^2 = 42$$

2) $\tilde{x}(t) = 4 + 6\cos(\omega_0 t) + 4\cos(2\omega_0 t)$

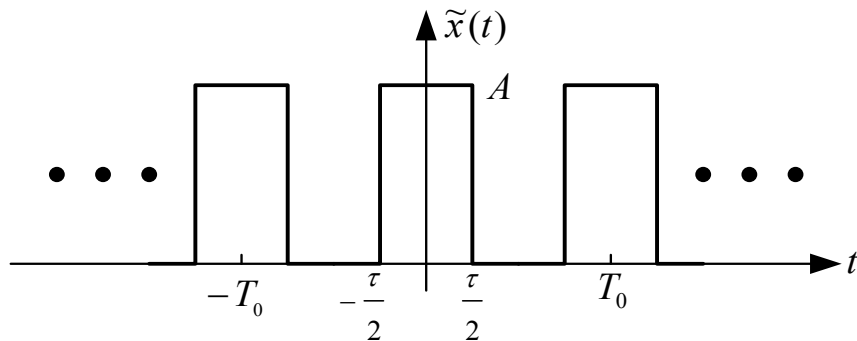
$$P = 4^2 + \frac{1}{2} \times 6^2 + \frac{1}{2} \times 4^2 = 42$$



连续傅里叶级数的性质

[例] 试求周期矩形信号在其**有效带宽**($0 \sim 2\pi / \tau$)内**谐波分量**所具有的功率占整个信号功率的**百分比**。

其中: $A=1$, $T_0=1/4$, $\tau=1/20$ 。



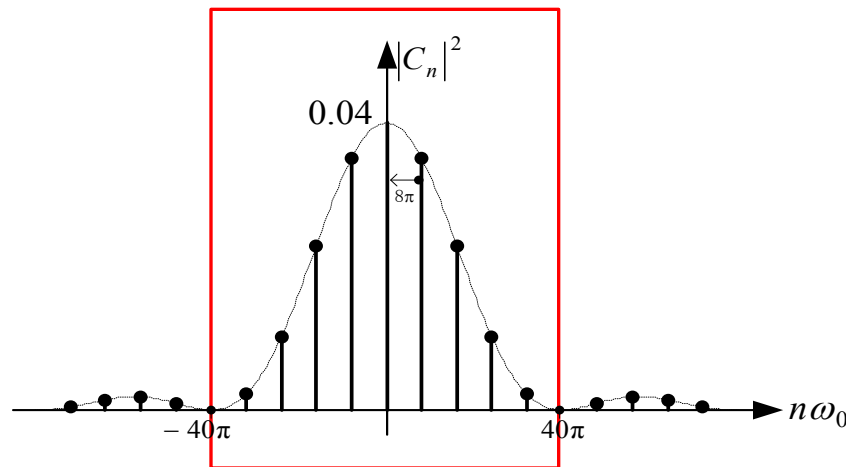


连续傅里叶级数的性质

$$C_n = \frac{A\tau}{T_0} \text{Sa}\left(\frac{n\omega_0\tau}{2}\right)$$

$$A=1, \quad T_0=1/4, \quad \tau=1/20, \quad \omega_0=2\pi/T_0=8\pi$$

$$C_n = 0.2 \text{Sa}(n\omega_0 / 40) = 0.2 \text{Sa}(n\pi / 5)$$



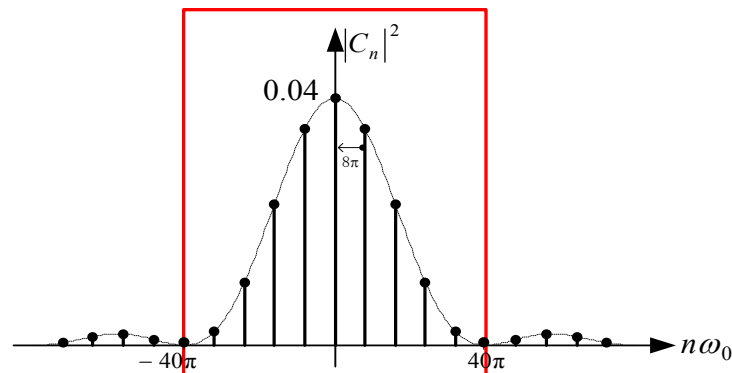
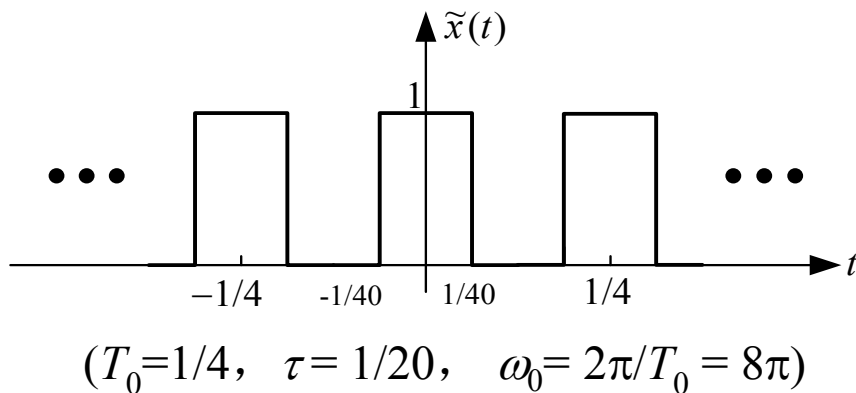
第一个**零点**出现在 $\frac{2\pi}{\tau} = 40\pi = 5 \times 8\pi = 5\omega_0$

因此有效带宽内包含了**直流分量**和**4个谐波分量**

$$\text{信号在有效带宽内的功率为 } P_1 = \sum_{n=-4}^4 |C_n|^2 = C_0^2 + 2 \sum_{n=1}^4 |C_n|^2 = 0.1806$$



连续傅里叶级数的性质



信号的**功率**为 $P = \frac{1}{T_0} \int_{-T_0/2}^{T_0/2} |\tilde{x}(t)|^2 dt = 4 \int_{-1/40}^{1/40} 1^2 dt = \frac{1}{5} = 0.2$

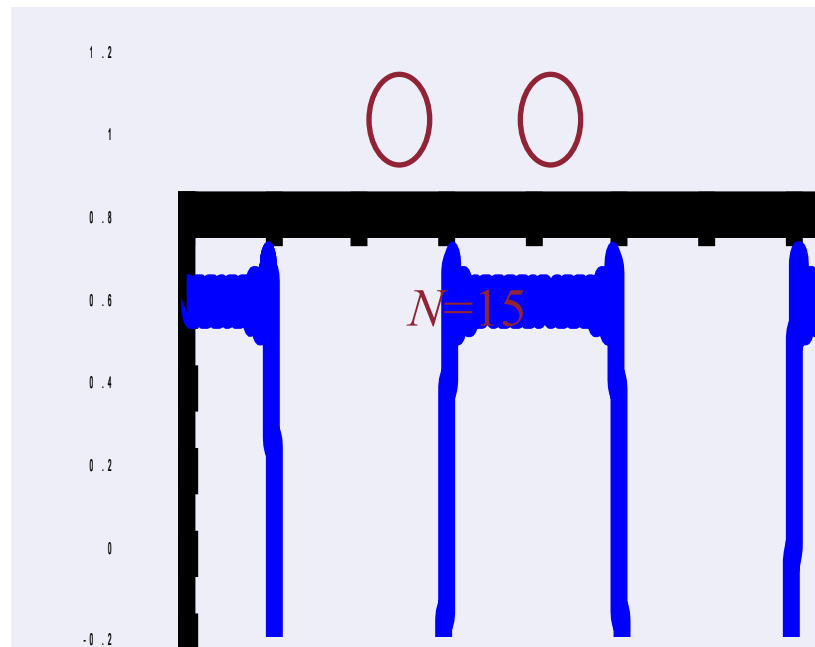
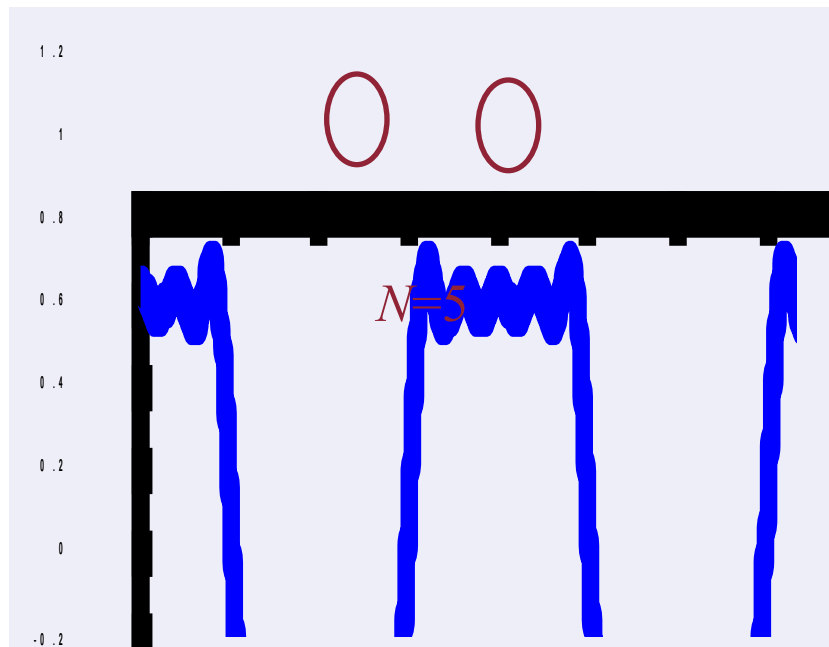
$$\frac{P_1}{P} = \frac{0.1806}{0.200} = 90\%$$

周期矩形信号在**有效带宽内**各**谐波分量**的功率之和占整个信号功率的**90%**



吉布斯(Gibbs)现象

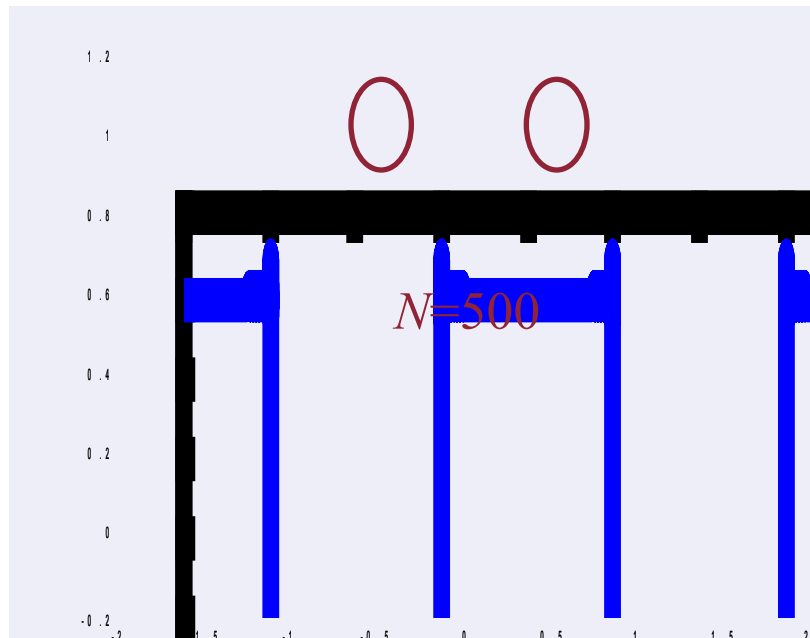
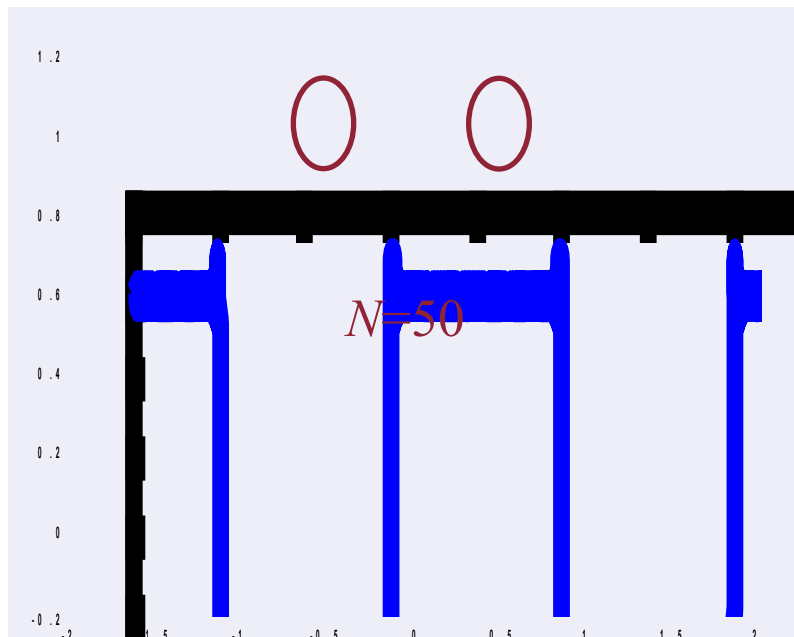
$$x_N(t) = \sum_{n=-N}^N C_n e^{jn\omega_0 t} = C_{-N}e^{-jN\omega_0 t} + \dots + C_{-1}e^{-j\omega_0 t} + C_0 + C_1e^{j\omega_0 t} + \dots + C_Ne^{jN\omega_0 t}$$





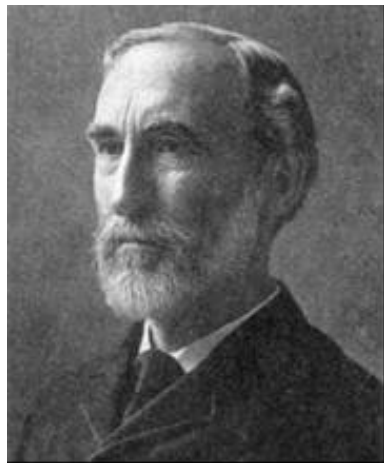
吉布斯(Gibbs)现象

$$x_N(t) = \sum_{n=-N}^N C_n e^{jn\omega_0 t} = C_{-N}e^{-jN\omega_0 t} + \dots + C_{-1}e^{-j\omega_0 t} + C_0 + C_1e^{j\omega_0 t} + \dots + C_Ne^{jN\omega_0 t}$$





吉布斯 (Josiah Gibbs, 1839-1903)



美国数学物理学家
耶鲁大学教授

1898年，美国物理学家米切尔森做了一个谐波分析仪，以计算任何一个周期信号 $x(t)$ 的有限项(可达80项)傅里叶级数近似式。而当他测试方波信号时，得到一个令他吃惊的结果!

在不连续点附近部分和 $x_N(t)$ 呈现出起伏，起伏的峰值大小似乎不随 N 增大而下降!他开始怀疑起他的仪器是否有不完善的地方，于是将这一问题写了一封信给吉布斯，吉布斯检查了这一结果，证明其正确，并于1899年发表了他的看法，即我们所说的吉布斯现象。



连续傅里叶级数的性质

谢 谢

本课程所引用的一些素材为主讲老师多年的教学积累，来源于多种媒体及同事、同行、朋友的交流，难以一一注明出处，特此说明并表示感谢！